# ИССЛЕДОВАНИЕ ФАЗОВОГО СОСТАВА НАНОСИСТЕМЫ FePt

А.Н. Попова, Н.С. Захаров, Ю.А. Захаров, В.М. Пугачев

Федеральный исследовательский центр угля и углехимии СО РАН, Кемерово h991@ya.ru

#### Аннотация

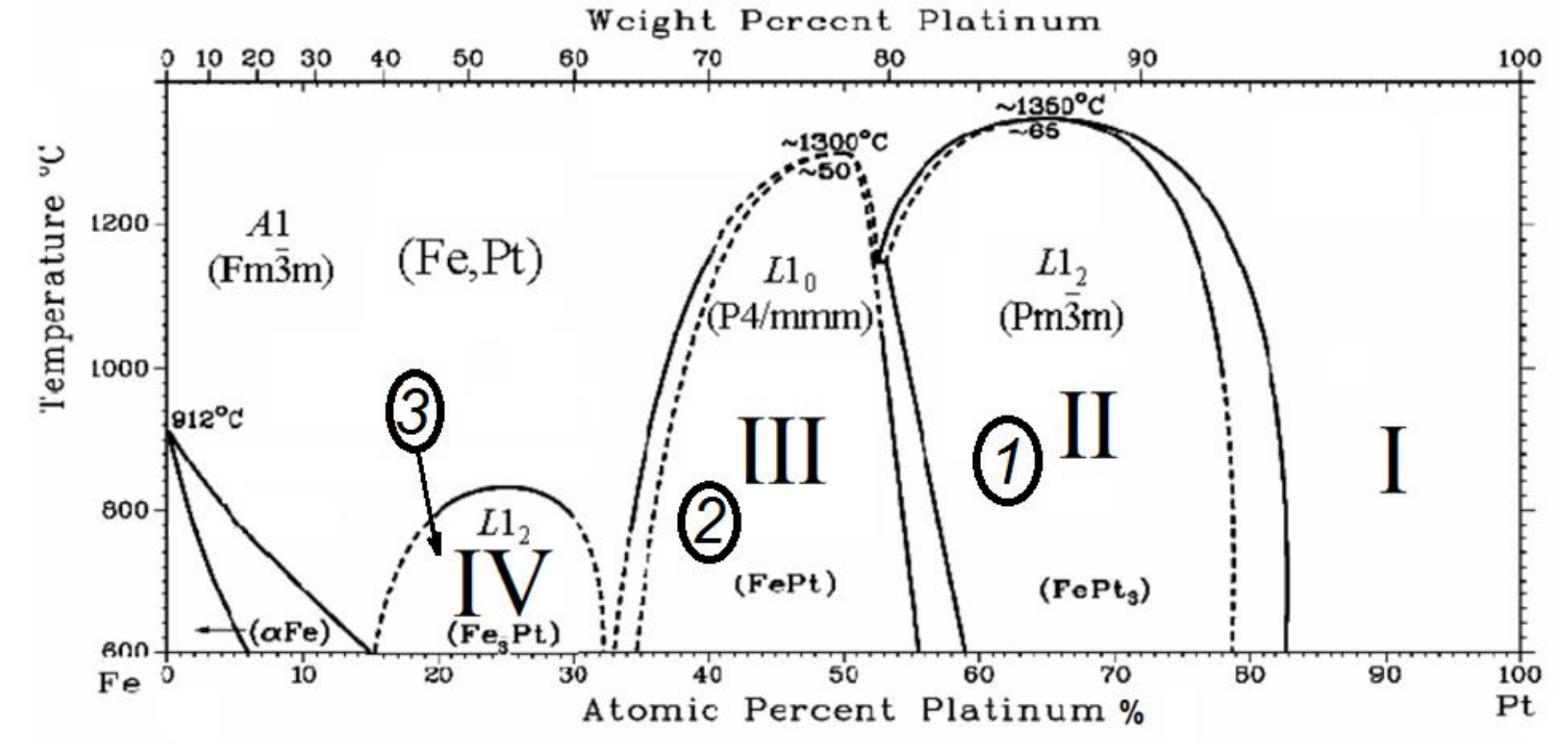
Рассмотрено получение наноразмерных систем (HC) FePt методом восстановления металлов растворов прекурсоров (N2H4·H2O — восстановитель). Впервые методами рентгеновской дифрактометрии и ДСК в сочетании с термогравиметрией и масс-спектроскопией газообразных продуктов изучена последовательность изменения фазового состава в НС Fe—Pt с разным соотношением компонентов и на основе этих данных предложена схема (модель) формирования рентгенографически чистой фазы L10, вероятно, общая для систем типа Fe(Co,Ni)—Pt, синтезированных предложенным методом.

#### Цель

Разработка простых способов получения свободной от оксидных примесей системы Fe-Pt в нанокристаллическом состоянии и рассмотрение условий формирования в ней интерметаллидов.

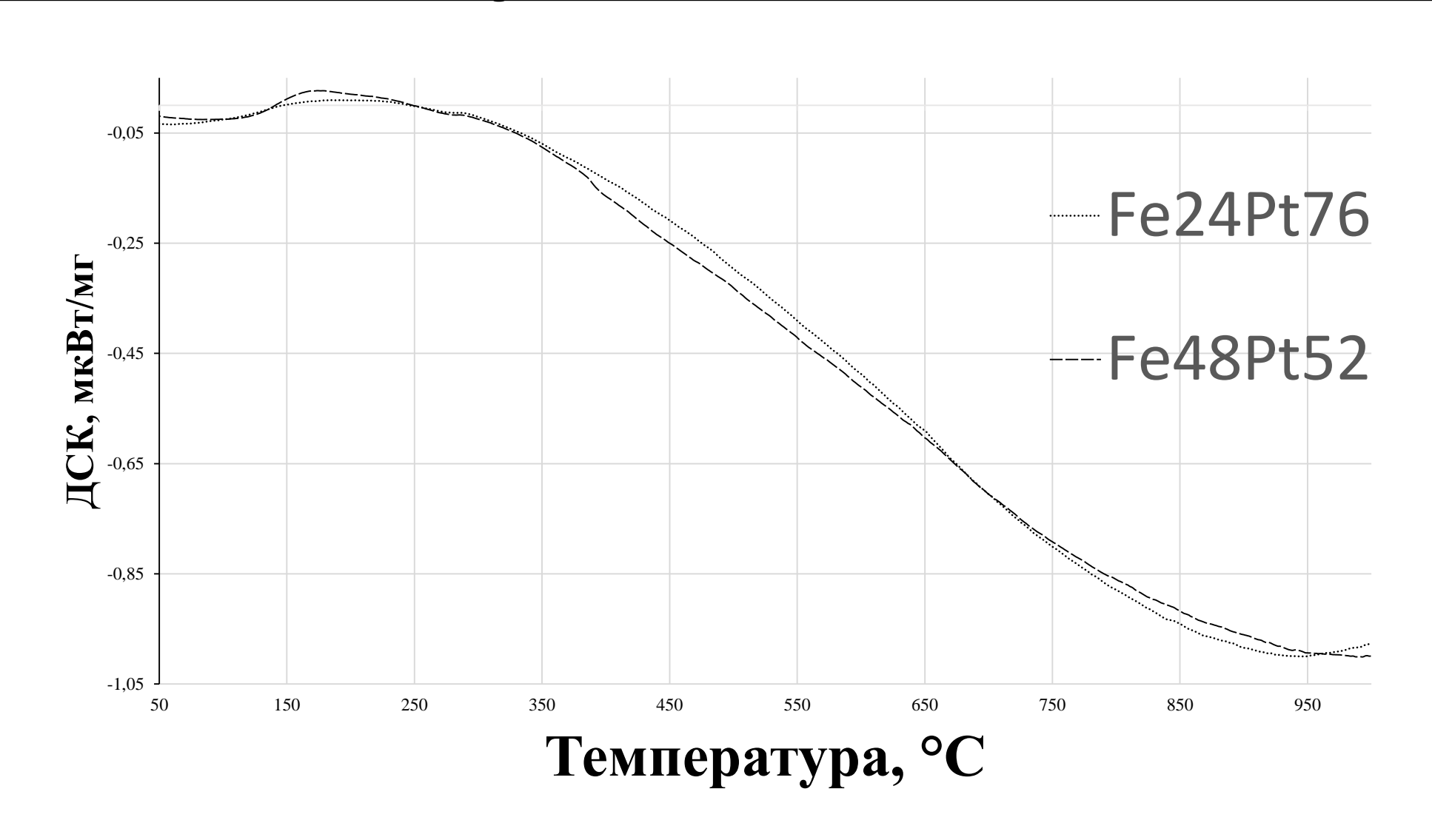
### Исследуемые образцы системы FePt:

 $1 - \text{Fe}_{24}\text{Pt}_{76}$ ;  $2 - \text{Fe}_{48}\text{Pt}_{52}$ ;  $3 - \text{Fe}_{70}\text{Pt}_{30}$ 



URL: http://www.crct.polymtl.ca/fact/documentation/FSstel/FSstel\_Figs.htm

## ДСК-кривые для образов Fe48Pt52 и Fe24Pt76



#### Методы исследования

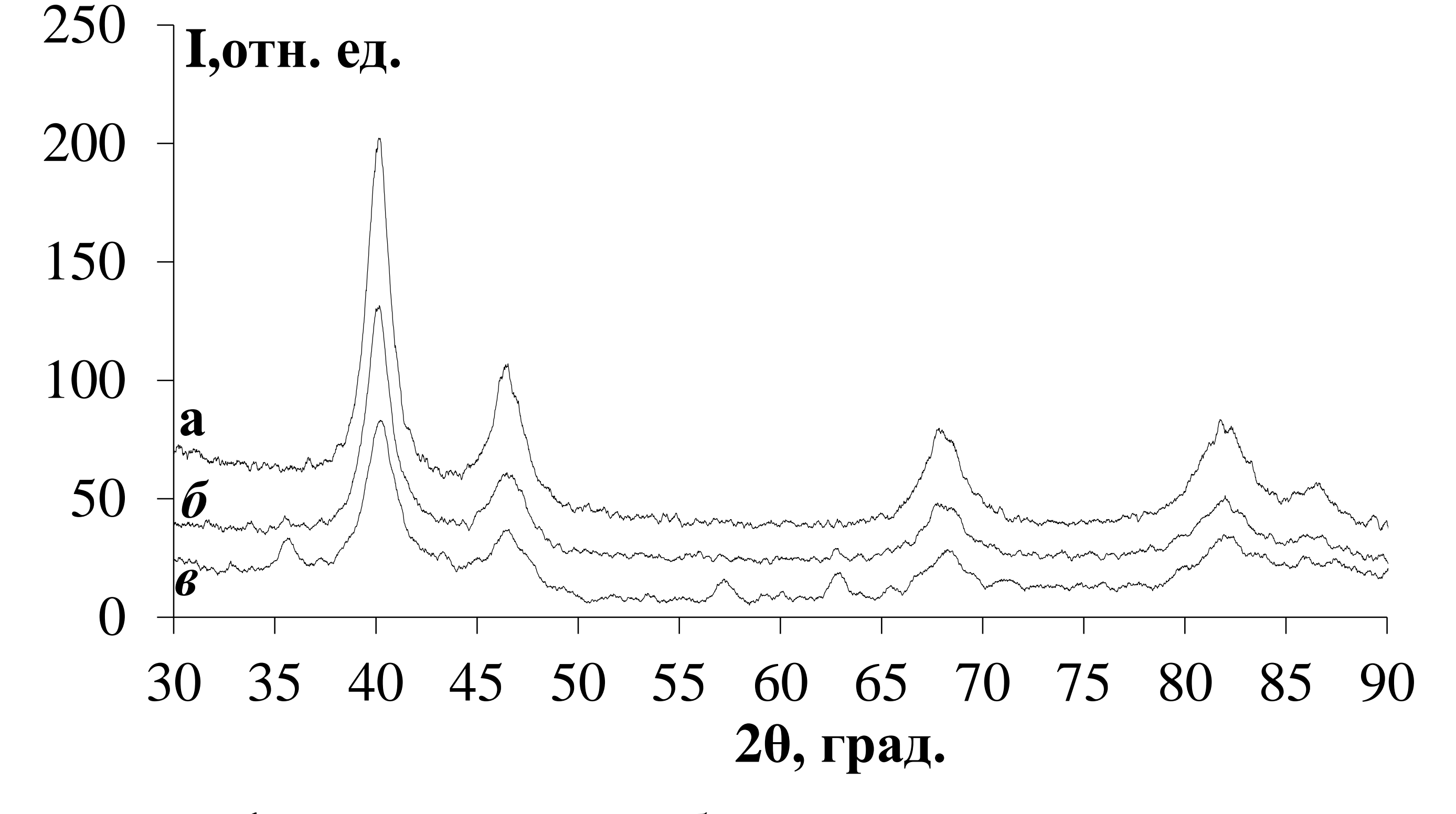
- фазовый состав и структура НПС методами дифракции рентгеновских лучей (Bruker D8 ADVANCE A25);
- фазовые трансформации НПС в циклах нагревание— охлаждение (in-situ) ( «Anton Paar» HTK 1200N);
- массовые (объемные) функции распределения частиц по размерам Dm(d) (дифрактометр КРМ-1, «на просвет»);
- дериватомасс-спектрометрия (ДМС) в сочетании с термогравиметрией (ТГ) и наблюдениями тепловых эффектов (ДСК) (NETSCH STA 409 PC/PG);
- элементный анализ образцов методом оптикоэмиссионной спектрометрии с индуктивно связанной плазмой выполнен на спектрометре iCAP 6500 DUO

### Результаты РФА образцов наночастиц FePt

Образец	a, Å	<b>V</b> <sub>ат</sub> , Å <sup>3</sup>	С <sub>Рt</sub> , мол. доля	С <sub>Fe</sub> , мол. доля	Размер ОКР, нм
Fe <sub>70</sub> Pt <sub>30</sub>	3.8865	14.675	0.827	0.173	6.3
Fe <sub>48</sub> Pt <sub>52</sub>	3.9000	14.829	0.888	0.112	7.8
Fe <sub>24</sub> Pt <sub>76</sub>	3.8985	14.813	0.881	0.119	9.4
Pt, PDF	3.9231	15.095	1.000		_

### <u>Результаты элементного анализа образцов FePt</u>

Образец	Fe опр., мг	Рt опр.,	Pt опр., мол.	Fe опр., мол.
		MΓ	дол.	дол.
Fe <sub>70</sub> Pt <sub>30</sub>	4.99	6.46	0.27	0.73
Fe <sub>48</sub> Pt <sub>52</sub>	2.815	8.52	0.46	0.54
Fe <sub>24</sub> Pt <sub>76</sub>	1.168	10.54	0.72	0.28



Дифрактограммы образцов наночастиц FePt: (a) – образец Fe $_{24}$ Pt $_{76}$ , (b) – образец Fe $_{48}$ Pt $_{52}$ , (b) – образец Fe $_{70}$ Pt $_{30}$ 

#### Заключение

Синтезированы наночастицы FePt методом совместного восстановления водных растворов прекурсоров. Размеры ОКР наночастиц составили в среднем 8.1 нм. Обнаружено, что в независимости от закладываемого состава при синтезе, образуется твёрдый раствор с концентрацией железа в близи 10 ат. %. Элементный анализ частиц выявил незначительное отклонение закладываемого состава от определяемого, что не согласуется с данными, полученными дифракционным методом. Показано, что во всех образцах присутствует дифракционноневидимая фаза.

Исследование выполнено при финансовой поддержке РФФИ и Кемеровской области в рамках научного проекта № 20-43-420014 с использованием оборудования КемЦКП ФИЦ УУХ СО РАН